



## ارزیابی استخراج ارتفاع درختان مناطق جنگلی برمبنای تداخل‌سنجدی پلاریمتری راداری

حسین آقلابایی<sup>۱</sup>\* و محمود رضا صاحبی<sup>۲</sup>

۱. دانشجوی دکتری گروه فتوگرامتری و سنجش از دور، دانشکده ژئودزی و ژئوماتیک، دانشگاه صنعتی خواجه نصیرالدین طوسی
۲. دانشیار گروه فتوگرامتری و سنجش از دور، دانشکده ژئودزی و ژئوماتیک، دانشگاه صنعتی خواجه نصیرالدین طوسی

تاریخ پذیرش مقاله: ۱۳۹۵/۶/۲۱

تاریخ دریافت مقاله: ۱۳۹۵/۳/۳

### چکیده

هدف این مقاله ارزیابی توانمندی استخراج پارامترهای جنگلی همچون ارتفاع درختان با تکنیک‌های تداخل‌سنجدی راداری با روزنهٔ ترکیبی است. هدف عمدۀ از تصاویر پلاریمتری راداری، در کاربردهای جنگلی، جداسازی مراکز فاز ناشی از توپوگرافی سطح زمین و تاج درختان است. یکی از روش‌های بسیار مرسوم در این زمینه به کارگیری ساختار دولایه‌ای مبتنی بر مدل پرکاربرد پراکنش حجمی نامنظم روی سطوح (RVOG) است. این مدل در یک دستگاه معادلات غیرخطی پارامترهای گوناگون—مانند توپوگرافی زمین، ارتفاع درخت، ضربیت میرایی موج و نسبت دامنه—پراکنش سطحی به حجمی را تخمین می‌زند. با این حال به دلیل وابستگی شدید نتایج مدل به مقادیر اولیۀ مجھولات و بهدلیل زمان برآوردن و پیچیدگی حل دستگاه غیرخطی برای تمامی سلول‌های تصویر، بیشتر اوقات مسئله براساس فرضیات خاصی در ارتباط با مدل‌های پراکنش حل می‌شود. با وجود این، نتایج این روش‌ها نیز تحت تأثیر فرضیات قرار می‌گیرند و غالباً نمی‌توانند منجر به تعیین مناسب پارامترها شوند. از این‌رو برای حل مسائل پیش رو در این مقاله، با درنظرگرفتن ساختار دولایه‌ای جنگل، روشنی مدل‌منابع در تعیین توپوگرافی سطح زمین و ارتفاع درختان مطرح می‌شود. روش در نظر گرفته شده بدون هیچ پیش‌فرضی در ارتباط با پارامترهای مجھول، سعی در تخمین بهینه‌انها دارد و یافته‌های پژوهش نشان می‌دهد که این مدل کارآیی بهتری از دو روش مرسوم مدل معکوس و SPIRIT دارد؛ بهطوری که شاخص RMSE تخمین ارتفاع درختان از مقادار ۱۲/۲۶ و ۱۱/۴۱ متر بهترتیپ در روش مدل معکوس و SPIRIT به مقدار ۷/۳۴ متر در روش عرضه شده کاهش یافته است.

کلیدواژه‌ها: تداخل‌سنجدی پلاریمتری راداری، مدل پراکنش حجمی نامنظم روی سطوح، پارامترهای مناطق جنگلی.

\*نویسنده عهده‌دار مکاتبات: تهران، خیابان ولی‌عصر، دانشگاه صنعتی خواجه نصیرالدین طوسی، دانشکده مهندسی ژئودزی و ژئوماتیک، کد پستی ۹۹۶۷۱۵۴۳۳. تلفن: ۰۲۱۸۸۷۷۰۲۱۸

وابستگی یا عدم وابستگی ضریب میرایی به پلاریزاسیون امواج است (Treuhaut and Cloude, 2006; Thirion et al., 1999). به طور کلی در مدل RVOG، با فرض عدم وابستگی ضریب میرایی به پلاریزاسیون، به دلیل وضعیت توجیه تصادفی عناصر پراکنشگرهای حجمی، امکان مدلسازی کوهرنسی مشاهداتی براساس شش پارامتر مجھول جنگل وجود خواهد داشت (رك. بخش ۱-۲). تخمین این پارامترها نیازمند حل دستگاه معادلات غیرخطی شش معادله و شش مجھول است (Papathanassiou and Cloude, 2001). روش مشابه و زمانبری در پژوهش ژانگ و همکاران<sup>۵</sup> (۲۰۰۶) برای حل این دستگاه معادلات با الگوریتم ژنتیک مطرح شده است. صرفنظر از زمان برآوردن حل دستگاه غیرخطی، به دلیل وابستگی نتایج به انتخاب مقادیر اولیه مجھولات، تکنیک ها و روش های دیگری مانند روش سه مرحله ای (Cloude and Papathanassiou, 2003) عرضه شده است. ایده کلی در مدل سه مرحله ای برآش خطی در صفحه کوهرنسی پلاریزاسیون های متفاوت داشته باشد. پیچیدگی فرایند برآش بهترین خط بر مجموعه پلاریزاسیون های موجود در هر پیکسل کمتر از فرایند حل معادله غیرخطی نخواهد بود. از این رو معمولاً برآش خط با دو پلاریزاسیون، که در آنها پراکنش های حجمی و سطحی از زمین غالب باشند، برای برآش خط در نظر گرفته می شوند. در برخی پژوهش ها مانند سی و همکاران<sup>۶</sup> (۲۰۱۴) از پلاریزاسیون های بهینه برای حل مدل سه مرحله ای استفاده شده است. تعیین خط مفروض در صفحه کوهرنسی منجر به تعیین مجهم مرکز فاز زمین می شود. پس از رفع ابهام و تعیین فاز توبوگرافی و با فرض کلی صفر بودن نسبت دامنه

1. polarimetric interferometric synthetic aperture radar
2. two layer
3. Random volume over ground
4. Oriented volume over ground
5. Zhang et al.
6. Xie et al.

## ۱- مقدمه

شناخت و ارزیابی دقیق مناطق جنگلی در بسیاری از حوزه های مدیریتی و جنگل داری مانند کاهش خسارات ناشی از سیل و فرسایش خاک بسیار بالاهمیت است. همچنین تعیین پارامترهای جنگل، همچون ارتفاع درختان، نقش بسیار مهمی در آنالیز و تخمین زیست توده دارد.

امروزه صرف نظر از روش های زمان بر و هزینه بر زمینی، تداخل سنجی پلاریمتری راداری با روزنئه ترکیبی (PolInSAR)<sup>۱</sup> یکی از روش های کارآ در تخمین ارتفاع درختان و توبوگرافی سطح زمین بر مبنای جداسازی مراکز فاز پراکنش های بازگشتی است (Cloude and Papathanassiou, 1998). در این تکنیک ها، با در اختیار داشتن اطلاعات پلاریمتری و اینتر فرمتری، به ترتیب امکان جداسازی مراکز فاز و تخمین ارتفاع درختان و توبوگرافی سطح زمین با داده های PolInSAR پیش از همه لازم است ساختار برهم کش اموج راداری با مناطق جنگلی بحث و بررسی شود. تا کنون پژوهش های مهمی در ارتباط با مسئله مدلسازی امواج بازگشتی از مناطق جنگلی صورت پذیرفته است (Thirion et al., 2006; Ulaby et al., 1988; Smith-Jonforsen et al., 2005).

براساس این پژوهش ها، مدل دولایه ای<sup>۲</sup> راه حلی ساده و بسیار پر کاربرد در مدلسازی ساختار جنگل بوده است. این مدل بر مبنای محل قرارگیری مراکز فاز مکانیسم های متعدد بازگشتی از مناطق جنگلی است. در این مدل مفروض، لایه اول همان سطح زمین محسوب می شود که محل قرارگیری مراکز فاز پراکنش های دوگانه و همچنین پراکنش های سطحی بازگشتی از زمین است و لایه دوم نیز مختص لایه های بالایی جنگل یا تاج درختان است که اغلب پراکنش های حجمی را در بر می گیرد (Shiroma and Macedo, 2015; Papathanassiou and Cloude, 2001).

براساس این ساختار دولایه ای، دو مدل معروف RVOG<sup>۳</sup> و OVOG<sup>۴</sup> در استخراج پارامترهای جنگل مطرح شده است که تفاوت این دو فقط در فرض

هر پیکسل می‌تواند با شکل‌گیری ماتریس کوهرننسی  $6 \times 6$  شناخته شود.

$$T_6 = E\{k_1 k_2^H\} = \begin{bmatrix} T_{11} & \Omega_{12} \\ \Omega_{12}^H & T_{22} \end{bmatrix} \quad (1)$$

در رابطه بالا  $H$  عملگر تراشهاده مختلط،  $E$  عملگر امید، و بهترتیب بردارهای پائولی تصویر اول و دوم،  $T_{11}$  و  $T_{22}$  ماتریس‌های کوهرننسی پلاریمتری تصاویر اول و دوم، و  $\Omega_{12}$  نیز ماتریس کوهرننسی پلاریمتری اینترفرومتری حاصل از تداخل‌سننجی است. برمبنای اطلاعات ماتریس کوهرننسی، تصاویر کوهرننسی مختلط در پلاریزاسیون های گوناگون را می‌توان با رابطه زیر بیان کرد. (Papathanassiou and Cloude, 2001; Cloude, 2008)

$$\gamma(w) = \frac{w^H \Omega_{12} w}{\sqrt{w^H T_{11} w} \sqrt{w^H T_{22} w}} \quad (2)$$

$w$  بردار پلاریزاسیون، و  $\gamma(w)$  نیز کوهرننسی مختلط در پلاریزاسیون  $w$  است. همان‌طور که اشاره شد، ابتدا تروهافت و سیکریا<sup>۳</sup> (۲۰۰۰) ساختار دولایه‌ای جنگل را برای تحلیل کوهرننسی مطرح کردند و سپس این مبحث به کاربردهای تداخل‌سننجی پلاریمتری (Papathanassiou and Cloude, 2001) گسترش یافته است. برمبنای ساختار دولایه‌ای جنگل، سطح زمین در جایگاه لایه اول در ارتفاع  $h$  قرار دارد و لایه دوم (شامل پوشش گیاهی) به ارتفاع  $h$  روی لایه اول است که بیشتر پراکنشگرهای حجمی را دربر دارد (شکل ۱). در مدل پراکنش حجمی نامنظم روی سطوح (RVOG) در شرایط انعکاس متقارن<sup>۴</sup> (Cloude and Pottier, 1996; Lee and Pottier, 2009;) و برای ماتریس‌های کوهرننسی پلاریمتری، امکان مدل‌سازی مؤلفه‌های ماتریس  $T_6$  براساس پارامترهای زیر وجود خواهد داشت (Treuhhaft et al., 1996; Treuhhaft and Cloude, 1999; Cloude and Papathanassiou, 2003; Lopez-Martinez et al., 2010).

1. dual polarimetric data set
2. Treuhhaft and Siqueria
3. reflection symmetry

پراکنش سطحی به حجمی در پلاریزاسیون حجمی غالب مثلاً HV، ارتفاع درخت و دیگر مجھولات تعیین می‌شوند. همچنین به تازگی مدل سه‌مرحله‌ای به داده‌هایی با پلاریزاسیون دوگانه<sup>۱</sup> نیز گستردۀ شده است (Wenxue et al., 2016). با این حال، درنظرگرفتن این فرض در فرکانس‌های کوتاه، همچون باند P، به دلیل نفوذ زیاد این باند و تحت تأثیر قرارگرفتن آن از سطح زمین ممکن است تا حدی مسئله‌ساز باشد.

به طور کلی آنچه از جمع‌بندی روش‌های مرسوم تداخل‌سننجی پلاریمتری در مدل پراکنش حجمی نامنظم روی سطوح در مناطق جنگلی برمی‌آید پیچیدگی حل دستگاه معادلات غیرخطی، وابستگی به شرایط اولیه و مفروضات مسئله است حال آنکه امروزه تخمین دقیق ارتفاع درختان با مدل‌های ساده و بدون پیش‌فرض بسیار ضروری است. از این‌رو برای بهبود دقت تخمین مهم‌ترین پارامترهای جنگل (ارتفاع درختان و توپوگرافی سطح زمین)، در این مقاله مدل RVOG به شیوه ساده دیگری حل می‌شود. در این مدل، هیچ پیش‌فرضی از پارامترهای گوناگون در حل معادله در نظر گرفته نمی‌شود. در مدل عرضه شده، توپوگرافی سطح بدون ابهام و پیچیدگی خاصی از مدل RVOG تخمین زده می‌شود و سپس این فاز در صفحه کوهرننسی برای تخمین ارتفاع درخت به کار می‌رود. در ادامه مقاله و در بخش ۲، جزئیات مدل RVOG و روش حل مدل معکوس بیان می‌شود. در بخش ۳، روش پیشنهادی همراه با داده‌های در نظر گرفته شده توضیح داده می‌شود. در بخش ۴، جزئیات پیاده‌سازی همراه با نتایج حاصل و در نهایت، در بخش ۵ نیز، نتیجه‌گیری از پژوهش حاضر مطرح خواهد شد.

## ۲- تداخل‌سننجی پلاریمتری راداری برمبنای RVOG مدل

در تداخل‌سننجی پلاریمتری پس از اعمال فرایندهای پیش‌پردازشی لازم (Bamler and Hartl, 1998) و با در اختیار داشتن ماتریس‌های پراکنش مربوط به تصاویر،

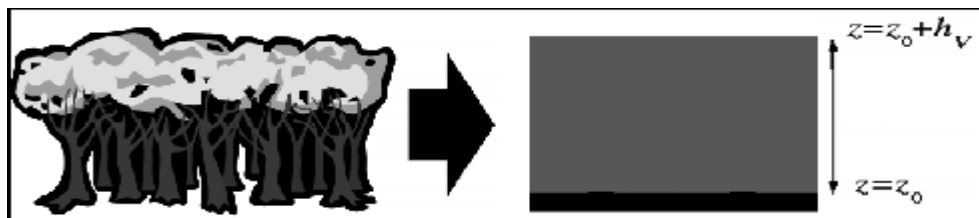
$$\begin{aligned}
 T_g &= m_g \begin{bmatrix} 1 & t_{12} & 0 \\ t_{12}^* & t_{22} & 0 \\ 0 & 0 & t_{33} \end{bmatrix}, \quad T_v = m_v \begin{bmatrix} 1 & 0 & 0 \\ 0 & \eta & 0 \\ 0 & 0 & \eta \end{bmatrix} \quad \text{رابطه (۳)} \\
 I_1^V &= e^{\frac{-2\sigma h_v}{\cos\theta}} \int_0^{h_v} e^{\frac{2\sigma z}{\cos\theta}} T_v dz, \quad I_1^g = \int_0^{h_v} \delta(z) e^{\frac{2\sigma z}{\cos\theta}} T_g dz = T_g \\
 I_2^V &= e^{\frac{-2\sigma h_v}{\cos\theta}} \int_0^{h_v} e^{(\frac{4\pi\Delta\theta}{\lambda\sin\theta} + \frac{2\sigma}{\cos\theta})z} T_v dz, \quad I_2^g = T_g \\
 I_{11} &= I_1^V + e^{\frac{-2\sigma h_v}{\cos\theta}} I_1^g, \quad \Omega_{12} = e^{i\varphi_g} I_2^V + e^{i\varphi_g} e^{\frac{-2\sigma h_v}{\cos\theta}} I_2^g
 \end{aligned}$$

معادله زیر بیان شود. این رابطه بیانگر معادله یک خط در صفحه کوهرنسی است. در این رابطه،  $\mu$  نسبت پراکنشی سطحی زمین به حجمی وابسته به پلاریزاسیون انتخابی است.  $\gamma_v$  نیز کوهرنسی مخلوط برای پراکنشگرهای حجمی را نشان می‌دهد.

(۴)

$$\begin{aligned}
 \gamma(w) &= e^{i\varphi_g} \left[ \gamma_v + \frac{\mu(w)}{1 + \mu(w)} (1 - \gamma_v) \right], \\
 \gamma_v &= \frac{\int_0^{h_v} e^{(\frac{-2\sigma}{\cos\theta} + \frac{4\pi\Delta\theta}{\lambda\sin\theta})z} dz}{\int_0^{h_v} e^{\frac{(-2\sigma)}{\cos\theta}z} dz}
 \end{aligned}$$

در رابطه بالا  $m_v$  و  $m_g$  به ترتیب شدت یا دامنه پراکنش از زمین و پراکنشگرهای حجمی درخت،  $T_g$  و  $T_v$  ماتریس‌های کوهرنسی پلاریمتری زمین و درخت،  $\sigma$  ضریب میرایی موج،  $\varphi_g$  و  $\varphi$ ، نیز فاز توپوگرافی زمین و درختاند.  $\lambda$  طول موج،  $\theta$  زاویه فروندی موج در تصویر مرجع،  $\Delta\theta$  اختلاف زوایای فروندی موج، ارتفاع درخت، و  $\eta$  ضریب شکل پراکنشگر است. جزئیات بیشتر این پارامترها در منابع بالا مشخص شده‌اند. در ادامه، روند تعیین برخی پارامترهای یادشده (فاز توپوگرافی، فاز درخت و ارتفاع آن) از طریق مدل معکوس بررسی می‌شود.



شکل ۱. ساختار دلایهای جنگل

منبع: Papathanassiou and Cloude, 2005

در معادله بالا پارامترهای مجھول عبارت‌اند از ضریب میرایی  $\sigma$ ، ارتفاع میانگین درختان  $h_v$ ، فاز توپوگرافی  $\varphi_g$ ، نسبت پراکنشی سطحی به حجمی  $\mu$ ، و مشاهدات نیز کوهرنسی مخلوط در پلاریزاسیون‌های گوناگون است. بر این اساس، با مشاهده سه کوهرنسی

## ۱-۲- مدل معکوس در حل پارامترهای مجھول

براساس منابع (Papathanassiou et al., 1999; Treuhhaft and Siqueira, 2000; Papathanassiou and Cloude, 2001)، رابطه کوهرنسی مخلوط (معادله ۲) می‌تواند براساس پارامترهای RVOG در (۳)، به صورت

نزدیک‌تر باشد نقطه انتخابی خواهد بود. از فاز توبوگرافی تعیین‌شده در مرحله بعد برای محاسبه مقادیر دیگر مجهولات استفاده می‌شود و جزئیات بیشتر در این مورد مطرح شده است (Cloude and Papathanassiou, 2003). با این حال، محاسبه پلاریزاسیون‌های متغیر و برآش خط به نقاط کوهرنسی برای تمامی سلول‌های تصویر می‌تواند روش سه‌مرحله‌ای را تکنیکی نه‌چندان سریع جلوه دهد. از این‌رو امروزه برای ساده‌سازی و تسريع حل مسئله معکوس، فرایندی ساده وجود دارد که جزئیات آن بیان شده است (Cloude, 2005). در این روش سریع در تخمین مجهولات، معمولاً به جای تمامی پلاریزاسیون‌ها، می‌توان از دو پلاریزاسیون خاص استفاده کرد که در آن‌ها پراکنش‌های حجمی ( $\gamma_{ws}$ ) و سطحی ( $\gamma_{wv}$ ) غالب باشد. بر این اساس و بر این‌رو مذکور، دو کوهرنسی مختلط متناظر ( $\gamma_{ws}, \gamma_{wv}$ ) محاسبه می‌شود که خط مزبور با این دو تعیین می‌شود. با حل ابهام طبق رابطه (۳۰) (Cloude, 2005)، می‌توان فاز توبوگرافی را تخمین زد. در ادامه با انتخاب پلاریزاسیون حجمی غالب و از طریق اختلاف فاز کوهرنسی حجمی و فاز توبوگرافی، ارتفاع درخت را می‌شود محاسبه کرد. با این همه، همان‌گونه که کلاود<sup>۲</sup> (۲۰۰۶) مطرح کرده است، بهدلیل قرارگرفتن مرکز فاز پراکنش حجمی در بالای درخت و صفرنبوت نسبت پراکنش سطحی به حجمی در  $\gamma_{wv}$  تخمین ارتفاع درخت کمتر از مقدار واقعی آن برآورد می‌شود. از این‌رو برای بهبود دقیق تخمین و بهره‌گیری همزمان از اطلاعات فاز و دامنه، رابطه زیر پیشنهاد شده است (Ibid.).

رابطه (۶)

$$h_v = \frac{\lambda \sin \theta}{4\pi\Delta\theta} \left[ (\arg(\gamma_{wv}) - \varphi_g) + 2\varepsilon \operatorname{sinc}^{-1}(|\gamma_{wv}|) \right]$$

بخش نخست رابطه بالا از اطلاعات فاز و بخش دوم نیز از اطلاعات دامنه (رابطه دوم معادله ۴)، که با تابع معکوس (Sinc) مشخص شده، استفاده می‌کند. نکته مهم در این رابطه انتخاب درست پارامتر  $\varepsilon$  است.

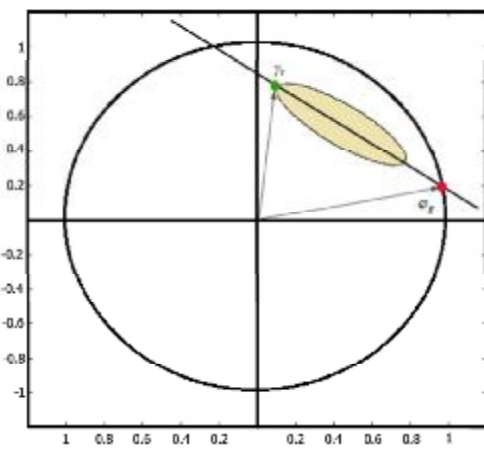
1. three stage  
2. Cloude

مختلط خواهیم داشت:  
رابطه (۵)

$$\begin{cases} \gamma(w_1) = f_1(\varphi_g, \mu_1, h_v, \sigma) \\ \gamma(w_2) = f_2(\varphi_g, \mu_2, h_v, \sigma) \\ \gamma(w_3) = f_3(\varphi_g, \mu_3, h_v, \sigma) \end{cases} \Rightarrow \begin{bmatrix} \varphi_g & h_v & \sigma & \mu_1 & \mu_2 & \mu_3 \end{bmatrix} = f^{-1}[\gamma(w_1) \ \gamma(w_2) \ \gamma(w_3)]$$

این رابطه یک دستگاه معادلات غیرخطی شش معادله و شش مجھول را نشان می‌دهد. روند کلاسیک حل این دستگاه کمینه‌سازی نرم بین معادله مشاهداتی و مدل بهصورت تکرار است. افزون بر تحت تأثیر قرارگرفتن فرایند حل دستگاه غیرخطی با مقادیر اولیه مجهولات، تعیین سه پلاریزاسیون انتخابی در رابطه (۵) نیز مسئله‌ساز است. از این‌رو برای کاهش پیچیدگی روند حل دستگاه در مدل معکوس رابطه (۵)، معمولاً روش‌های دیگری همچون Cloude and Papathanassiou, (2003) پیشنهاد شده است. در روش سه‌مرحله‌ای، ابتدا فاز توبوگرافی زمین تخمین زده می‌شود. برای این منظور، نقاط کوهرنسی مختلط یک پیکسل مورد نظر از تمامی پلاریزاسیون‌ها محاسبه می‌شود. طبق رابطه (۴)، نقاط کوهرنسی باید در امتداد یک خط قرار گیرند. بر همین اساس، خطی که بیشترین سرماش را بر مجموعه نقاط کوهرنسی داشته باشد تعیین می‌شود. این خط صفحه کوهرنسی را در دو نقطه قطع می‌کند که، با فرض یک‌بودن اندازه کوهرنسی در زمین، این نقاط می‌توانند معرف فاز توبوگرافی باشند. در نتیجه، تعیین فاز توبوگرافی با این روش با ابهام در انتخاب یکی از این دو نقطه روبروست. برای انتخاب درست فاز توبوگرافی، روند پیشنهادی بررسی میزان فاصله این دو نقطه از مجموعه‌ای نقاط کوهرنسی خاص است. برای نمونه، نقطه‌ای که بیشترین فاصله را با نقطه کوهرنسی پلاریزاسیون HV داشته باشد یا نقطه‌ای که به نقطه کوهرنسی حاصل از مقدار ویژه اول ( $\lambda/4$ ، یعنی  $76$  در مسئله بهینه‌سازی کوهرنسی) (Cloude and Papathanassiou, 1998).

محل تقاطع خط مزبور و صفحه کوهرنسی واقع شده که موقعیت آن پیشتر طبق رابطه (۷) معلوم شده است. اکنون با درنظر گرفتن ناحیه کوهرنسی<sup>۱</sup> در صفحه کوهرنسی مطابق شکل (۲)، خطی که از نقطه فاز توبوگرافی و انتهای ناحیه کوهرنسی عبور می کند می تواند تعیین کننده کوهرنسی مختلط پراکنشگرهای حجمی ۶٪ باشد. تعیین مرز ناحیه کوهرنسی ممکن است به تعیین این نقطه کم کند. برای این منظور، رابطه (۲) را به صورت زیر بازنویسی می کنیم (Neumann et al., 2006).



شکل ۲. ناحیه کوهرنسی و فاز توبوگرافی

رابطه (۸)

$$\tilde{\gamma}(w) = \gamma(w) e^{i\varphi_g} = \frac{w^H (\Omega_{12} e^{i\varphi_g}) w}{w^H T w},$$

$$T = \frac{T_{11} + T_{22}}{2}$$

بخش حقیقی رابطه بالا را می توان بدین صورت ارائه کرد (Flynn et al., 2002).

$$\text{Re}(\tilde{\gamma}(w)) = \frac{w^H A w}{w^H T w} \quad \text{رابطه (۹)}$$

که در آن  $A = (e^{i\varphi_g} \Omega_{12} + e^{-i\varphi_g} \Omega_{12}^H) / 2$  است. بیشینه و کمینه (۹) می تواند بخش حقیقی ۶٪ را مشخص

1. coherence region

پیشنهاد کلود تووجه به مقدار ضرب میرایی بوده است. در حالتی که ضرب میرایی نزدیک به صفر باشد، ترم اول رابطه (۶)، به دلیل پایین بودن مرکز فاز، نزدیک به نصف مقدار واقعی ارتفاع را تخمین خواهد زد و در حالتی که ضرب میرایی به بینهایت نزدیک می شود، پراکنش حجمی از لایه های بالایی درخت خواهد بود. در این صورت، ارتفاع با همان ترم اول به میزان معنابهی درست تخمین زده خواهد شد. از این رو به منظور کمینه سازی خطای تغییرات، ضرب میرایی مقدار ۴٪ پیشنهاد شده است (Ibid.). شایان توجه است این روش، که جزئیات آن نیز بیان شده است (Cloude, 2005, 2006) برای مقایسه با روش پیشنهادی این مقاله در بخش ۴ پیاده سازی خواهد شد.

### ۳- مواد و روش

نتایج حل مدل معکوس تحت تأثیر عوامل چندی، همچون مفروضات مسئله و انتخاب پلاریزاسیون ها، قرار دارد. برای رفع این مسائل در شرایط پراکنش حجمی نامنظم روی سطوح طبق رابطه (۳)، می شود مدل سازی ماتریس های کوهرنسی پلاریمتری و اینترفرومتری را مطرح کرد. بر این اساس، می توان مؤلفه  $\Omega_{12}$  و  $T_{21}$  را به صورت زیر محاسبه کرد.

رابطه (۷)

$$\left. \begin{aligned} \Omega(1,2) &= 0 + e^{i\varphi_g} e^{\frac{-2\sigma h_v}{\cos\theta}} m_g t_{12} \\ T_{11}(2,1) &= 0 + e^{i\varphi_g} e^{\frac{-2\sigma h_v}{\cos\theta}} m_g t_{12}^* \end{aligned} \right\} \Rightarrow$$

$$\varphi_g = \arg(\Omega(1,2)T_{11}(2,1))$$

همان گونه که پیشنهاد شده (Lopez-Martinez et al., 2010)، فاز توبوگرافی بدون هیچ ابهام و پیش فرضی طبق رابطه بالا تعیین می شود. در ادامه، مشابه با روند مدل معکوس از فاز توبوگرافی تعیین شده برای تخمین ارتفاع درخت در فرایند زیر استفاده می کنیم. برای این منظور، معادله خط کوهرنسی مختلط در رابطه (۴) را در نظر می گیریم. در این رابطه، فاز توبوگرافی روی این خط و در

(Dreuillet, 2008) متعلق به آژانس فضایی اروپا استفاده می شود که جزئیات آن ها در ادامه آمده است. همچنین ترکیب رنگی پائولی از تصاویر مرجع واقعی و شبیه سازی شده در شکل ۳ به نمایش گذاشته شده است.

### ۱-۳ داده های شبیه سازی شده

این داده ها در شرایط پراکنش حجمی نامنظم روی سطوح شبیه سازی شده اند (Williams, 2006). برای شبیه سازی داده ها، پارامترهای دریافت تصاویر با پارامترهای سنجنده SETHI متناظر نند که این پارامترها در جدول ۱ ارائه شده اند. در تصاویر شبیه سازی شده، طول Baseline مکانی ۴۰ متر در نظر گرفته شده است. تصویر شبیه سازی شده درختانی با میانگین ارتفاع ۱۸ متر دارد و توپوگرافی آن به طور نسبی از ۲۴ تا ۳۸ متر متغیر است.

### ۲-۳ داده های واقعی

دو تصویر پلاریمتری از سنجنده SETHI در منطقه جنگلی گویان<sup>۱</sup> فرانسه ( $52^{\circ}18'N$ ,  $55^{\circ}W$ ), که پارامترهای دریافت تصاویر آن در جدول ۱ آمده، در نظر گرفته شده است. در این داده ها، بیشتر منطقه مطالعاتی، به ویژه در قسمت میانی تصویر، پوشیده از درختان استوایی و دارای تراکم بالاست. توپوگرافی منطقه دارای تغییرات ارتفاعی تا حدود ۴۵ متر بوده و ارتفاع درختان به ۵۵ متر نیز می رسد.

جدول ۱. پارامترهای دریافت تصاویر سنجنده SETHI

|          | قدرت   | قدرت      | ارتفاع  | زاوية  | تفکیک    | تفکیک    | طول موج |
|----------|--------|-----------|---------|--------|----------|----------|---------|
| طول      | تفکیک  | تفکیک     | تفکیک   | تفکیک  | مکانی در | مکانی در | پرواز   |
| Baseline | مکانی  | مکانی     | مکانی   | مکانی  | راستایی  | راستایی  | فرودی   |
| (متر)    | (درجه) | (درجه)    | (درجه)  | (درجه) | (متر)    | (متر)    | (متر)   |
|          | آزمیوت | برد (متر) |         |        |          |          |         |
|          | (متر)  |           |         |        |          |          |         |
| ۳۰/۱۱۶۳  | ۱/۲۴۵  | ۱         | ۲۵/۰۶۱۴ | ۳۹۶۲   | .۷۸۵۴۲   |          |         |

1. extremum  
2. Guyane

کند. برای تعیین حد آن مشابه با مسئله بهینه سازی پلاریزاسیون (Cloude and Papathanassiou, 1998) می توان قضیه لاگرانژ را به کار برد.

$$L = w^H A w + \lambda (w^H T w - C) \quad (10)$$

$$Aw + \lambda Tw = 0 \quad \text{به رابطه} \quad \frac{\partial L}{\partial w^H} = 0$$

خواهیم رسید که راه حل آن از طریق مقدار ویژه کلی به دست خواهد آمد. با درنظر گرفتن بردارهای ویژه متناسب با مقادیر ویژه بیشینه و کمینه، می توان از رابطه (۸) کوهرنسی متناظر، یعنی  $\tilde{\gamma}_{\max}$  و  $\tilde{\gamma}_{\min}$  را محاسبه کرد که با ضرب آن ها در  $e^{-i\phi_v}$  مقدار  $w_v$  حاصل می شود. پر واضح است که نقطه مطلوب بیشترین فاصله را از نقطه فاز توپوگرافی دارد و مقدار فاز آن بیشتر از فاز توپوگرافی است. اکنون مشابه با روند ترکیبی کلاؤد (۲۰۰۶) در تخمین ارتفاع درخت، می توان همزمان از اطلاعات فاز و دامنه به صورت رابطه (۶) استفاده کرد. بر طبق توضیحات، اکنون می شود الگوریتم ساده زیر را، برای مدل پیشنهادی، به صورت زیر مطرح کرد:

۱. محاسبه بدون بایاس ماتریس های کوهرنسی پلاریمتری و اینترفرومتری؛

۲. تخمین فاز توپوگرافی از طریق رابطه (۷)؛

۳. محاسبه کرانگی های<sup>۱</sup> رابطه (۹) طبق قضیه لاگرانژ (رابطه ۱۰) و بر مبنای مسئله مقدار ویژه کلی

$$Aw + \lambda Tw = 0$$

۴. محاسبه بردارهای ویژه ( $w_{\max}$  و  $w_{\min}$ ) متناظر با مقادیر ویژه بیشینه و کمینه؛

۵. تعیین  $\tilde{\gamma}_{\max}$  و  $\tilde{\gamma}_{\min}$  از طریق رابطه (۸)، متناظر با پلاریزاسیون های  $w_{\max}$  و  $w_{\min}$ ؛

۶. حذف سهم فاز توپوگرافی از  $\tilde{\gamma}_{\max}$  و  $\tilde{\gamma}_{\min}$  و انتخاب<sup>۲</sup> با تأکید بر بیشترین فاصله از فاز توپوگرافی؛

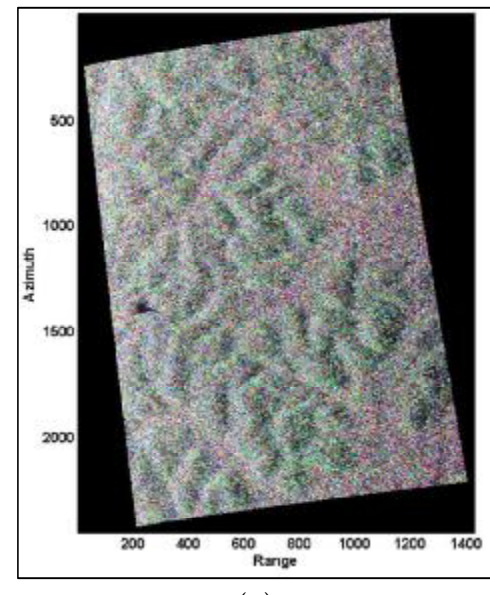
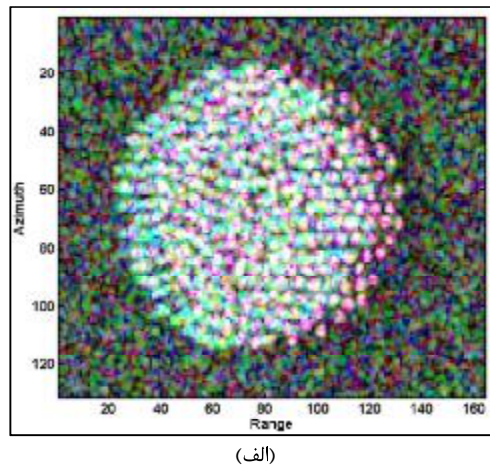
۷. تخمین ارتفاع درختان با رابطه (۶) برای ارزیابی مدل مطرح شده، از داده های شبیه سازی شده و داده های سنجنده SETHI Bonin and ( )

داده شده است. همان‌طور که مشخص است، نتیجه حاصل از مدل معکوس تحت تأثیر بسیار مفروضات مسئله بوده، به‌طوری که در مناطق جنگلی، توبوگرافی زمین تخمین مطلوبی زده نشده و ارتفاع تعیین شده تا حد زیادی تحت تأثیر ارتفاع درختان بوده است. باید گفته شود در روش مدل معکوس، پلاریزاسیون‌های HV و HH-VV به‌ترتیب پلاریزاسیون‌هایی با پراکنش‌های غالب حجمی و سطحی در نظر گرفته شده‌اند (Cloude, 2006). روش SPIRIT، در تخمین توبوگرافی مناطقی که تراکم درختان بالای ندارد، می‌تواند نتایج چشمگیری به دست دهد که حاصل آن در داده‌های شبیه‌سازی شده با تراکم نه‌چندان بالا مشهود است. برای ارزیابی کمی نتیجه مدل عرضه شده در مقایسه با روش مدل معکوس و SPIRIT، از شاخص‌های کمی RMSE، میانگین و انحراف معیار خطای مطلق<sup>۳</sup> استفاده شده است. میانگین خطای مطلق در روش مدل معکوس و SPIRIT به‌ترتیب ۷/۱۵ و ۵/۵۳ متر با انحراف معیار ۵/۵۶ و ۲/۲۹ متر بوده است. در صورتی که در مدل عرضه شده دقیق تخمین مدل رقومی زمین به میانگین خطای ۴/۹۰ متر و انحراف معیار ۲/۲۷ متر بهبود پیدا کرده است.

جدول ۲. ارزیابی کمی خطای تخمین توبوگرافی منطقه با روش‌های پیاده‌سازی شده در داده‌های شبیه‌سازی شده

| خطا           | روش           | میانگین خطای انحراف معیار | RMSE   |
|---------------|---------------|---------------------------|--------|
| روش عرضه شده  | روش عرضه شده  | ۴/۹۰۳۵                    | ۴/۲۶۸۵ |
| روش مدل معکوس | روش مدل معکوس | ۹/۰۶۰۳                    | ۵/۵۶۲۰ |
| SPIRIT        | SPIRIT        | ۵/۵۳۷۰                    | ۴/۹۱۹۴ |

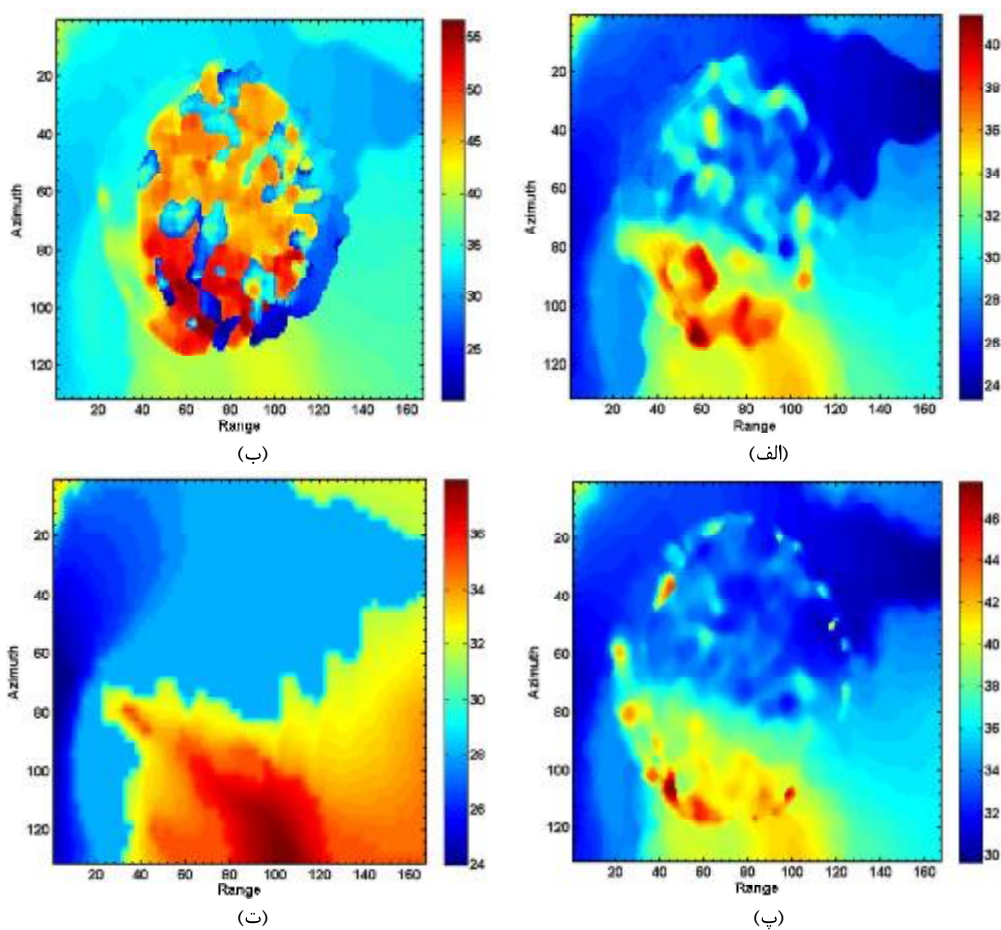
1. Estimation of Signal Parameters via Rotational Invariance Techniques
2. Root mean square error
۳. متغیر از خطای مطلق اختلاف ارتفاع مدل رقومی موجود و توبوگرافی تخمین‌زده شده با هر روش است. با توجه به واحد مدل رقومی، واحدهای شاخص‌های کمی معرفی شده هستند.



شکل ۳. ترکیب رنگی پانولی تصاویر شبیه‌سازی شده (الف) و واقعی (ب)

#### ۴- بحث و نتایج

برای ارزیابی کارآیی روش عرضه شده، نتایج آن با نتایج حاصل از روش مدل معکوس (Cloude, 2005) و روش SPIRIT (Yamada et al., 2006)<sup>۱</sup> مورد بررسی قرار گرفته شده‌اند. نتایج تخمین توبوگرافی در داده‌های شبیه‌سازی شده با سه روش یادشده در شکل ۴ نشان



شکل ۴. تخمین توپوگرافی سطح در داده‌های شبیه‌سازی شده: روش عرضه شده (الف); روش مدل معکوس (ب); روش SPIRIT (پ); و مدل رقومی موجود (ت)

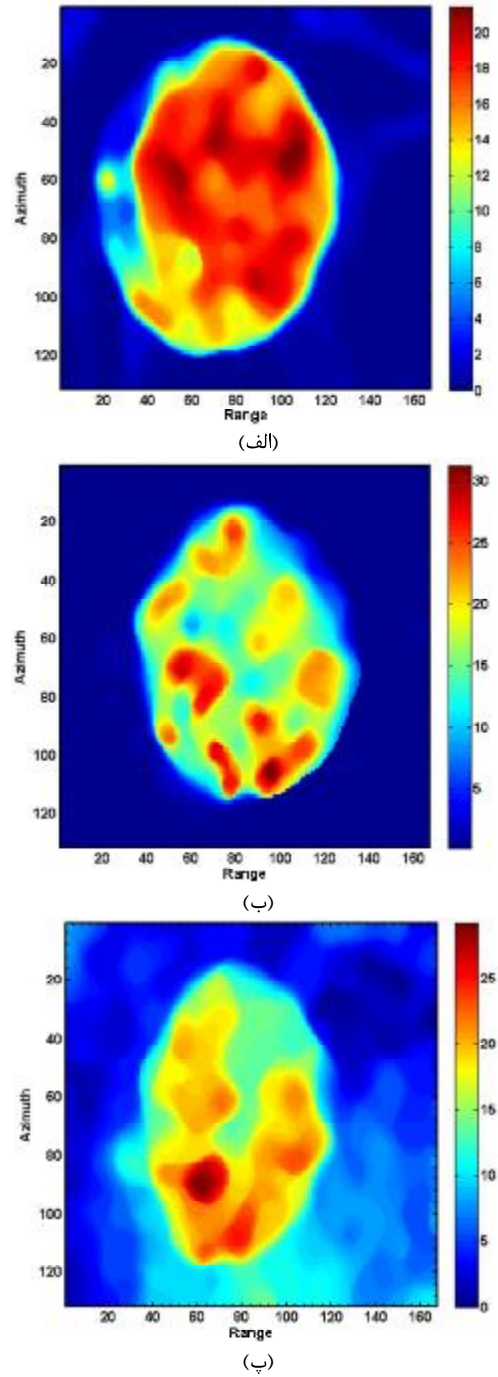
جدول ۳. ارزیابی کمی خطای تخمین ارتفاع درختان با روش‌های پیاده‌سازی شده در داده‌های شبیه‌سازی شده

| انحراف معيار خطأ | ميanganigen خطأ | RMSE   | روش           |
|------------------|-----------------|--------|---------------|
| ۳/۳۳۸۳           | ۲/۰۵۱۱          | ۳/۹۱۸۰ | روش عرضه شده  |
| ۴/۱۴۴۷           | ۲/۳۹۳۰          | ۴/۷۸۵۸ | روش مدل معکوس |
| ۳/۴۷۹۰           | ۴/۹۰۰۳          | ۶/۰۰۹۷ | SPIRIT روشن   |

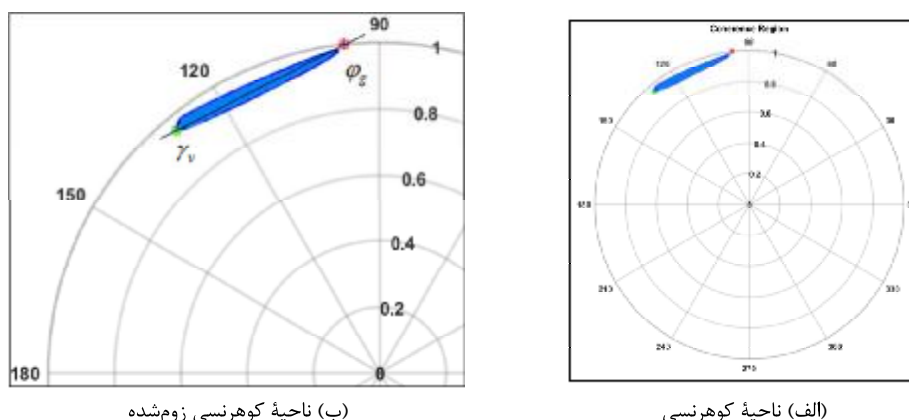
در ادامه، ارتفاع درختان بر طبق فرایند هر روش و از طریق رابطه (۶) محاسبه شده است. شکل ۵ مقایسه کیفی و جدول ۳ نیز مقایسه کمی از نتایج حاصل را ارائه می‌کند. با توجه به اینکه مرکز تصویر محل قرارگرفتن درختان بوده، مشخص است روش عرضه شده به خوبی توانسته است ارتفاع میانگین ۱۸ متر درختان را تخمین بزند؛ به طوری که ارتفاع تخمین‌زده شده در این روش از ۰ تا ۲۰ متریغیر بوده و طبق جدول ۳ نیز، انحراف معيار ۳/۳۳ متر نشان دهنده کارآیی چشمگیر آن است. درصورتی که در روش‌های مدل معکوس و SPIRIT ارتفاع تخمین‌زده شده دارای میانگین خطأ و انحراف معيار بسیار بیشتری‌اند.

مکانی (7) Azimuth=50, Range=87 در نظر گرفته شده است. برای این پیکسل، نخست ناحیه کوهرنسی را محاسبه و مطابق شکل ۶ ترسیم می‌کنیم. برای تخمین ارتفاع (توبوگرافی و ارتفاع درخت) طبق رابطه (۴)، معادله خطی را در نظر می‌گیریم که از نقطه فاز توبوگرافی تخمین زده شده و یک نقطه بر مرز ناحیه کوهرنسی عبور کند. از این رو مناسب‌ترین نقطه برای ارزیابی ارتفاع درختان نقطه‌ای خواهد بود که بیشترین فاصله را از نقطه توبوگرافی داشته باشد و البته ناحیه کوهرنسی را نیز دربر می‌گیرد. این نقطه با فرایند عرضه شده به سادگی تعیین و در شکل ۶ نشان داده شده است. نکته گفتنی این است که کوهرنسی مختلط پراکنش حجمی در نظر گرفته شده با این روش در هر سلول تصویر می‌تواند با پلاریزاسیون متفاوتی مرتبط باشد؛ درصورتی که در روش مدل معکوس، برای این منظور عملاً یک پلاریزاسیون (عموماً HV) در نظر گرفته می‌شود. بدین ترتیب در مدل عرضه شده، کوهرنسی مرتبط با پلاریزاسیونی انتخاب می‌شود که بهترین گزینه برای تخمین ارتفاع خواهد بود.

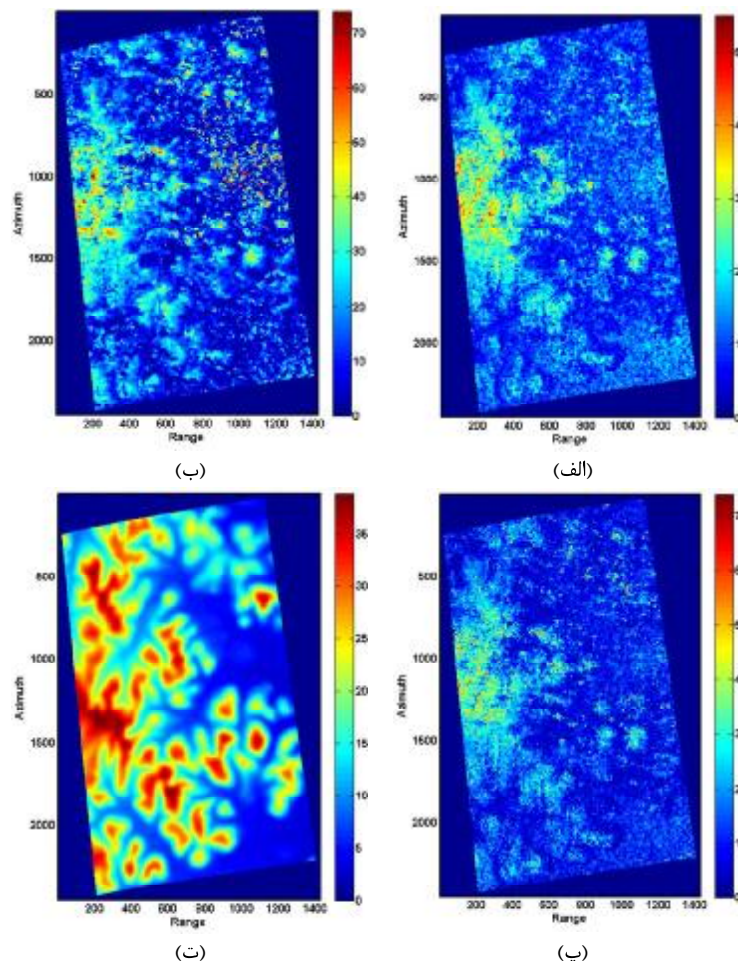
در ادامه برای ارزیابی بیشتر از عملکرد روش عرضه شده در مقایسه با روش‌های مرسوم، از داده‌های واقعی نیز استفاده شده است. برای صحبت‌سنگی نتایج، از مدل رقومی موجود (با قدرت تفکیک ۱ متری) و ارتفاع درختان که از داده‌های لیدار به دست آمده استفاده می‌شود. نتایج تخمین توبوگرافی سطح زمین با روش‌های مورد اشاره در شکل ۷ به نمایش گذاشته شده است. مقایسه کیفی و کمی نتایج (جدول ۴) نشان می‌دهد که توبوگرافی در روش عرضه شده با دقت مطلوب‌تری تخمین زده است؛ به طوری که شاخص RMSE از مقدار  $9/16$  و  $9/06$  در روش‌های مدل معکوس و SPIRIT به مقدار  $7/46$  متر بهبود پیدا کرده است. وابستگی به پلاریزاسیون در مدل معکوس و SPIRIT جداسازی بهینه مکانیسم در مدل اجرانکردن مسائلی اند که دقت تخمین توبوگرافی در این روش‌ها را تا حد بسیاری تحت تأثیر قرار داده‌اند. درصورتی که روش در نظر گرفته شده، بدون پیش‌فرض خاصی، توبوگرافی را با دقت معنابهی تخمین زده است.



شکل ۵. تخمین ارتفاع درختان در داده‌های شبیه‌سازی شده: روشن‌عرضه شده (الف); روش مدل معکوس (ب); روش SPIRIT (پ). همچنین برای آشنایی بیشتر با شبیه‌سازی عملکرد مدل پیشنهادی، پیکسلی خاص روی تصویر با ویژگی



شکل ۶. ناحیه کوهرنزی پیکسل مورد آنالیز و معادله خط کوهرنزی عبوری از نقاط فاز توپوگرافی و کوهرنزی کوهرنزی مختلط برای پراکنده‌های حجمی



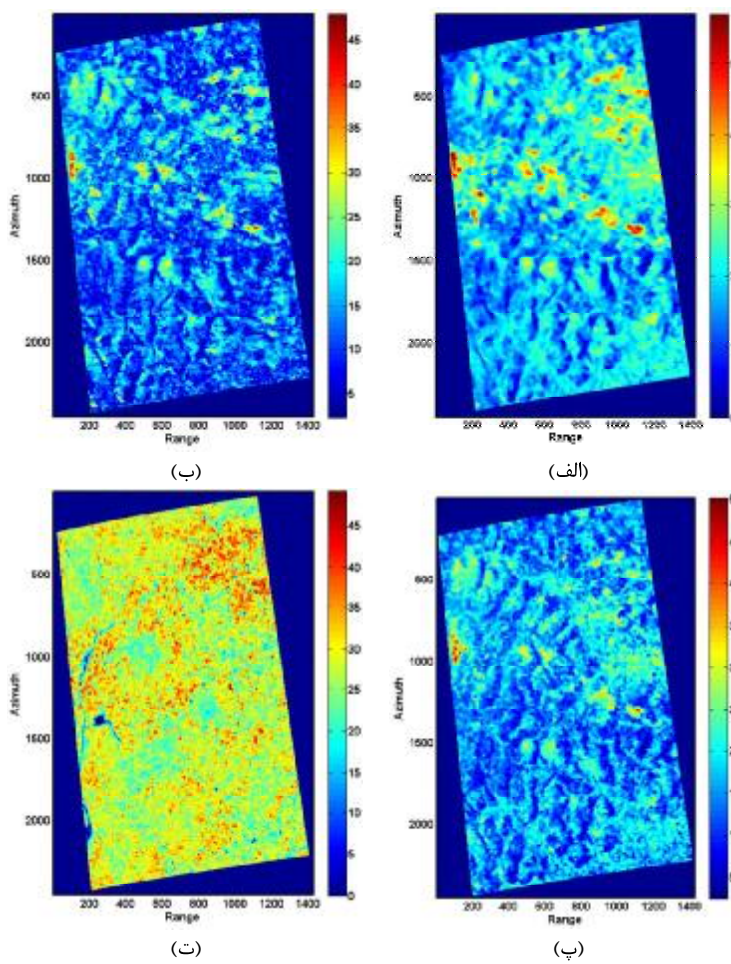
شکل ۷. تخمین توپوگرافی در داده‌های واقعی با: روش‌عرضه شده (الف); روش مدل معکوس (ب); روش SPIRIT (پ); و مدل رقومی موجود (ت)

این توانایی باعث شده، در هر موقعیت تصویر، پلاریزاسیونی که بیشترین فاصله را از فاز توپوگرافی داشته باشد به منزله پلاریزاسیون منتخب برای تخمین ارتفاع درخت در نظر گرفته شود. این روند مسئله وابستگی مدل معکوس به انتخاب یک پلاریزاسیون واحد برای کل تصویر را تا حد بسیاری برطرف کرده است. آن گونه که از مقایسه کمی نتایج با داده‌های لیدار بهمنزله مرجع در جدول ۵ و شکل ۹ برمهای آید، معدل خطای تخمین در روش عرضه شده به نسبت مدل معکوس کاهش چشمگیری یافته است. در روش SPIRIT نیز افزون بر وابستگی آن به شرایط منطقه مورد مطالعاتی، همانند تراکم درختان، این روش تا حد زیادی به کارآیی آن در تفکیک مکانیسم‌ها نیز وابسته است.

جدول ۴. ارزیابی کمی خطای تخمین توپوگرافی منطقه با روش‌های پیاده‌سازی شده در داده‌های واقعی

| روش           | روش | RMSE   | میانگین خطای معيار خطای انحراف |
|---------------|-----|--------|--------------------------------|
| روش عرضه شده  | روش | ۷/۴۶۴۴ | ۵/۲۹۴۳                         |
| روش مدل معکوس | روش | ۹/۱۶۰۳ | ۵/۶۸۱۳                         |
| روش SPIRIT    | روش | ۹/۰۶۵۹ | ۶/۹۵۶۷                         |

نتایج تخمین ارتفاع درختان با داده‌های واقعی نیز در شکل ۸ نشان داده شده است. نقطه قوت روش عرضه شده محاسبه ارتفاع درختان برمبانای فاز پلاریزاسیون‌های متفاوت در سلول‌های گوناگون تصویر محاسبه می‌شود.



شکل ۸. تخمین ارتفاع درختان در داده‌های واقعی با: روش عرضه شده (الف); روش مدل معکوس (ب); روش SPIRIT (پ); و داده‌ی لیدار (ت)

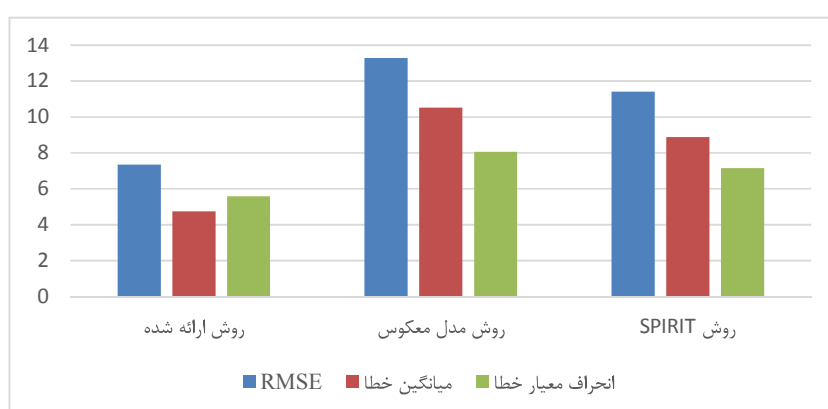
## ۵- نتیجه‌گیری

در تکنیک‌های تداخل‌سنجدی پلاریمتری به‌منزله روش مناسب در آنالیز و بررسی ساختار مناطق جنگلی، امکان تخمین ارتفاع میانگین درختان و تعیین توپوگرافی سطح زمین وجود دارد. یکی از روش‌های بسیار مرسوم برای این منظور بهره‌گیری از مدل پراکنش حجمی نامنظم روی سطوح و حل آن از طریق مدل معکوس است. در این مدل پراکنش بازگشتی از درختان و سطح طبیعی توپوگرافی زمین جدا می‌شود. به عبارت بهتر، نکته اساسی در حل این مدل‌ها تفکیک مراکز فاز پراکنش‌های بازگشتی است. طبق ساختار دولایه‌ای جنگل و مدل پراکنش حجمی نامنظم روی سطوح، پراکنش‌های بازگشتی دارای مراکز فاز منطبق بر زمین و یا منطبق بر لایه‌های بالای جنگل همچون تاج درختان‌اند، که هدف نهایی مدل تعیین این دو مرکز فاز و تخمین ارتفاع براساس آن‌هاست. فرایند بسیار مرسوم برای جداسازی مراکز فاز بهره‌گیری از مدل معکوس بوده است. با این حال، نتایج این مدل وابسته به انتخاب پلاریزاسیون‌ها و فرضیات مسئله است که جداسازی توپوگرافی زمین و تخمین ارتفاع درختان را تحت تأثیر قرار می‌دهد. در این مقاله، بر مبنای ساختار دولایه‌ای جنگل و مدل‌سازی پراکنش بازگشتی براساس پارامترهای مدل پراکنش حجمی نامنظم روی

همان‌طور که از نتایج برمی‌آید، روش عرضه شده نتیجه به نسبت بهتری در مقایسه با این دو روش مرسوم داشته است. مقایسه نتیجه این روش با داده‌های لیدار نشان می‌دهد که در برخی از نواحی تصویر (مانند نواحی پایین تصویر)، ارتفاع درختان کمتر از مقدار واقعی آن‌ها تخمین زده شده است. دلیل آن ممکن است این باشد که به کارگیری ترم کوهنوسی نتوانسته به خوبی مسئله تخمین پایین ارتفاع را برای تمامی مناطق با گونه‌ها و تراکم متفاوت جبران کند. افزون بر این آگرچه در روش عرضه شده فاز انتخابی برای تخمین ارتفاع درخت در بیشترین فاصله از فاز توپوگرافی قرار دارد، به‌دلیل نفوذ چشمگیر امواج راداری به‌نسبت لیدار، مرکز فاز همواره در بالای درخت قرار نمی‌گیرد.

جدول ۵. ارزیابی کمی خطای تخمین ارتفاع درختان با روش‌های پیاده‌سازی شده در داده‌های واقعی

| روش           | RMSE    | میانگین خطای معيار خطای معيار خطای | انحراف |
|---------------|---------|------------------------------------|--------|
| روش عرضه شده  | ۷/۳۴۳۷  | ۴/۷۵۷۵                             | ۵/۵۹۴۳ |
| روش مدل معکوس | ۱۳/۲۶۹۳ | ۱۰/۵۳۵۳                            | ۸/۰۶۷۳ |
| SPIRIT        | ۱۱/۴۱۱۶ | ۸/۸۸۸۳                             | ۷/۱۵۷۱ |



شکل ۹. مقایسه کمی خطای تخمین ارتفاع درختان با روش‌های پیاده‌سازی شده و داده‌های واقعی

- Course, Tutorial of the ESA Polarimetric SAR Processing (PolSARPro) Toolbox.**
- Cloude, S.R. & Papathanassiou, K.P., 1998, **Polarimetric SAR Interferometry**, IEEE Transactions on Geoscience and Remote Sensing, 36, PP. 1551-1565.
- Cloude, S.R. & Papathanassiou, K.P., 2003, **Three-Stage Inversion Process for Polarimetric SAR Interferometry**, Proceeding of IEEE International Conference in RADAR, Sonar and Navigation, PP. 125-134.
- Cloude, S.R. & Pottier, E., 1996, **A Review of Target Decomposition Theorems in Radar Polarimetry**, IEEE Transactions on Geoscience and Remote Sensing, 34, PP. 498-518.
- Flynn, T., Tabb, M. & Carande, R., 2002, **Coherence Region Shape Extraction for Vegetation Parameter Estimation in Polarimetric SAR Interferometry**, Proceeding of IEEE International Geoscience and Remote Sensing Symposium (IGARSS), PP. 2596-2598.
- Lee, J.S. & Pottier, E., 2009, **Polarimetric Radar Imaging: From Basics to Applications**, CRC press.
- Lopez-Martinez, C., Alonso, A., Fabregas, X. & Papathanassiou, K.P., 2010, **Ground Topography Estimation over Forests Considering Polarimetric SAR Interferometry**, Proceeding of IEEE International Geoscience and Remote Sensing Symposium (IGARSS), PP. 3612-3615.
- Neumann, M., Reigber, A. & Ferro-Famil, L., 2006, **Polinsar Coherence Set Theory and Application**, EUSAR.
- Papathanassiou, K., Cloude, S.R. & Reigber, A., 1999, **Estimation of Vegetation Parameters Using Polarimetric SAR Interferometry**, part i and ii, Proc. CEOS SAR Worhshop, CNES, 26-29
1. Flynn
- سطوح، راه حلی کلی در تهیه توپوگرافی و ارتفاع درختان بیان شد. روش در نظر گرفته شده بدون نیاز به پیش فرض خاصی و با انتخاب پلاریزاسیون مناسب در سلول های گوناگون پارامترهای مورد نظر را تخمین می زند. به طور خلاصه، مشارکت این پژوهش در بسط روابط حاصل از تحقیقات فلین<sup>۱</sup> (۲۰۰۲) به منظور تخمین ناحیه کوهرسی، همراه با استفاده از فاز توپوگرافی تخمین زده شده به تخمین ارتفاع درختان بوده است. نتایج بدست آمده نشان داد که مدل عرضه شده قابلیت بهتری در استخراج توپوگرافی و ارتفاع درختان داشته است. در این زمینه، میانگین خطای تخمین ارتفاع میانگین درختان از مقدار ۱۰/۵۳ و ۸/۸۸ متر، به ترتیب در روش های مدل معکوس و SPIRIT به مقدار ۴/۷۵ کاهش یافت. همچنین در مقایسه با دو روش مرسوم بالا، شاهد بهبود این خطای در تخمین مدل رقومی منطقه با روش در نظر گرفته شده بوده ایم. با این حال برای بهبود نتایج، پیشنهاد می شود که در تخمین ارتفاع بهتر است، به جای استفاده از یک پلاریزاسیون خاص، از اطلاعات تمامی پلاریزاسیون ها استفاده شود. همچنین بهره گیری از مجموعه تصاویر پلاریمتری نیز می تواند دقت نتایج را بهبود بخشد.
- ## ۶- منابع
- Bamler, R. & Hartl, P., 1998, **Synthetic Aperture Radar Interferometry**, Inverse Problems, 14, R1.
- Bonin, G. & Druillet, P., 2008, **The Airborne SAR-System: SETHI - Airborne Microwave Remote Sensing Imaging System**, In Proceeding of IEEE European Synthetic Aperture Radar (EUSAR), PP. 1-4.
- Cloude, S.R., 2005, **POL-InSAR Training Course**, Radio Science.
- Cloude, S.R., 2006, **Polarization Coherence Tomography**, Radio Science, 41
- Cloude, S.R., 2008, **POL-InSAR Training**

- Papathanassiou, K.P. & Cloude, S.R., 2001, **Single-Baseline Polarimetric SAR Interferometry**, IEEE Transactions on Geoscience and Remote Sensing, 39, PP. 2352-2363.
- Papathanassiou, K.P. & Cloude, S.R., 2005, **Single vs Multi-Polarization Interferometry**, Report and Tutorial for PolSARpro, 3, <http://envisat.esa.int/polsarpro/>
- Shiroma, G.H.X. & Macedo, K.A.C.D., 2015, **Estimating a Preliminary Terrain Model from the X-Band InSAR and the RVOG Model**, Proceeding of IEEE International Geoscience and Remote Sensing Symposium (IGARSS), PP. 4089-4092.
- Smith-Jonforsen, G., Ulander, L.M.H. & Xianyun, L., 2005, **Low VHF-Band Backscatter from Coniferous Forests on Sloping Terrain**, IEEE Transactions on Geoscience and Remote Sensing, 43, PP. 2246-2260.
- Thirion, L., Colin, E. & Dahon, C., 2006, **Capabilities of a Forest Coherent Scattering Model Applied to Radiometry, Interferometry, and Polarimetry at P- and L-Band**, IEEE Transactions on Geoscience and Remote Sensing, 44, 849-862.
- Treuhhaft, R.N. & Cloude, S.R., 1999, **The Structure of Oriented Vegetation from Polarimetric Interferometry**, IEEE Transactions on Geoscience and Remote Sensing, 37, PP. 2620-2624.
- Treuhhaft, R.N., Madsen, S.N., Moghaddam, M. & Zyl, J.J., 1996, **Vegetation Characteristics and Underlying Topography from Interferometric Radar**, Radio Science, 31, PP. 1485-1449.
- Treuhhaft, R.N. & Siqueira, P.R., 2000, **Vertical Structure of Vegetated Land Surfaces from Interferometric and Polarimetric Radar**, Radio Science, 35, 141-177.
- Ulaby, F.T., McDonald, K., Sarabandi, K. & Dobson, M.C., 1988, **Michigan Microwave Canopy Scattering Models (MIMICS)**, Proceeding of IEEE International Geoscience and Remote Sensing Symposium (IGARSS), PP. 1009-1009.
- Wenxue, F., Huadong, G., Xinwu, L., Bangsen, T. & Zhongchang, S., 2016, **Extended Three-Stage Polarimetric SAR Interferometry Algorithm by Dual-Polarization Data**, IEEE Transactions on Geoscience and Remote Sensing, 54, PP. 2792-2802.
- Williams, M.L., 2006, **A Coherent, Polarimetric SAR Simulation of Forests for PolSARPro**, Technical Report.
- Xie, Q., Zhu, J., Wang, C. & Fu, H., 2014, **Boreal Forest Height Inversion Using E-SAR PolInSAR Data Based Coherence Optimization Methods and Three-Stage Algorithm**, Proceeding of IEEE International Workshop on Earth Observation and Remote Sensing Applications (EORSA), PP. 145-150.
- Yamada, H., Yamazaki, M. & Yamaguchi, Y., 2006, **On Scattering Model Decomposition of PolSAR Image and its Application to the ESPRIT-Based Pol-inSAR EUSAR**.
- Zhang, L., Zou, B., Zhang, J. & Zhang, Y., 2006, **Inversion of Forest Parameters Based on Genetic Algorithm using L-Band Polinsar Data**, Proceeding of IEEE International Conference on Image Processing, PP. 2325-2328.